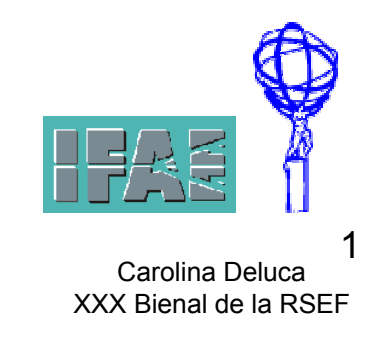
Calibración de la escala de energía de los jets con sucesos γ+jet para el detector ATLAS de LHC

Carolina Deluca Silberberg

XXX Reunión Bienal de la RSEF

IFAE, Barcelona



Contenido

- Introducción
- Balance de momento transverso

Parte I: Análisis de la señal

Selección de la señal

Estudios comparativos de algoritmos de reconstrucción de jets

Calibración de algoritmos de los jets

Parte II: Señal y background

Calibración del detector: introducción

Selección de los fotones: cortes

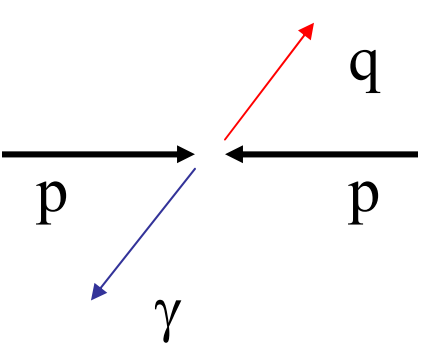
Balance de pT para señal y ruido de fondo

Conclusiones

Introducción

MOTIVACIONES

■ El γ y el Z⁰ → ℓℓ son referencias "Electro Magneticas" que se pueden reconstruir y calibrar con precisión compensando el sistema hadrónico



■ Potencialmente, muestra de sucesos con mucha estadística L=2·10³³cm⁻²s⁻¹

pT de 20 GeV a \sim 60 GeV: $Z(\rightarrow ll)+jet (\sim 2Hz)$

γ+jet (~ 0.1 Hz)

reservando 1Hz en el trigger

pT > 60 GeV: γ +jet (~2Hz)

Z+jet (~ 0.1 Hz)

PARA ENTENDER

- Efectos del detector: respuesta del calorímetro a diferentes partículas, zonas muertas, ruido electrónico, etc.
- Efectos físicos: fragmentación, radiación de gluones (multijets)

Balance de momento transverso

$$\Delta pT = \frac{pT_{jet} - pT_{\gamma}}{pT_{\gamma}}$$

Queremos usar el balance de momento transverso entre el fotón y el jet del estado final para entender los efectos que influyen en el proceso que tiene lugar en la cadena que va del partón al jet en el estado final

•A primer orden en T. de perturbaciones dos procesos dan lugar al estado final γ +jet:



Conservación de momento transverso:

$$pT_{\gamma} = pT_{parton} \Rightarrow pT_{\gamma} = pT_{jet}$$
 en muy buena aproximación

Análisis de la señal

Selección de la señal

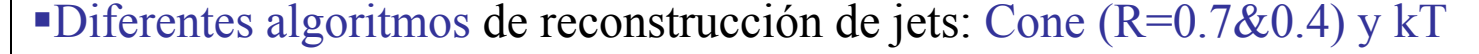
Fotones

- Sólo sucesos que contengan un fotón generado
- pT_{γ} (reco) > 16 GeV (pT > 20GeV en la generación)
- ■γ más energético → candidato a balance pT

Jets

- ■Hemisferio opuesto a la dirección en φ del fotón₀,₀₄
- •jet más energético → candidato a balance pT

Estudios comparativos



- •Diferentes niveles de balance de pT: hard scattering quark, particle level jets, jets reconstruidos a escala EM y calibrados
- →Estudio de efectos físicos y del detector, calibración de los diferentes algoritmos...

8282

25.06

13.68

h_etCone7Jets_max

15.67

Entries

Mean

RMS

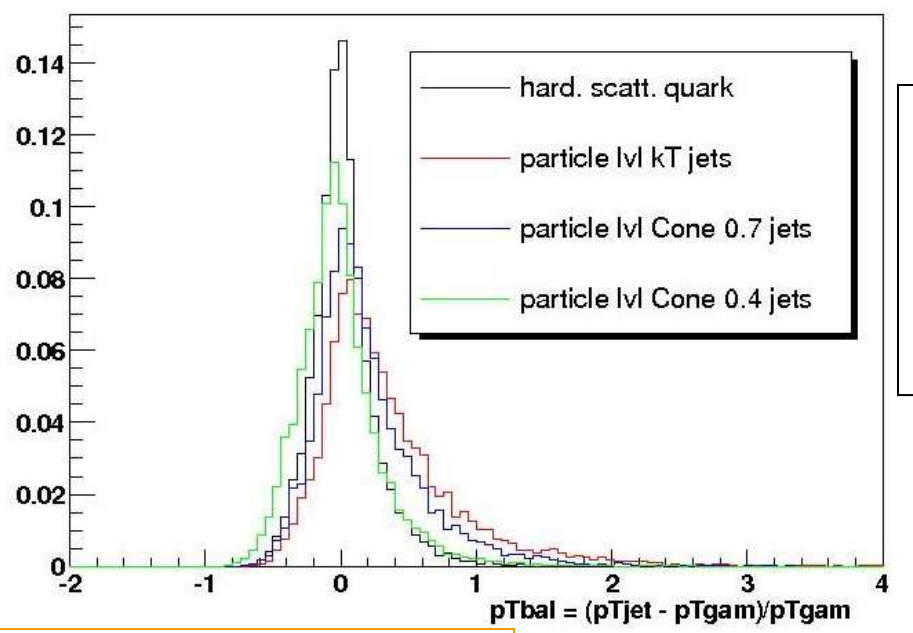
h etCone4Jets max

Entries

Mean

RMS

Estudios comparativos: ISR, FSR & UE



- quark → sólo ISR
- MC jets → efectos físicos (fragmentación, FSR, UE)
- reco jets → efectos físicos y del detector

En una ventana de anchura 0.12 centrada alrededor de 0 para evitar colas

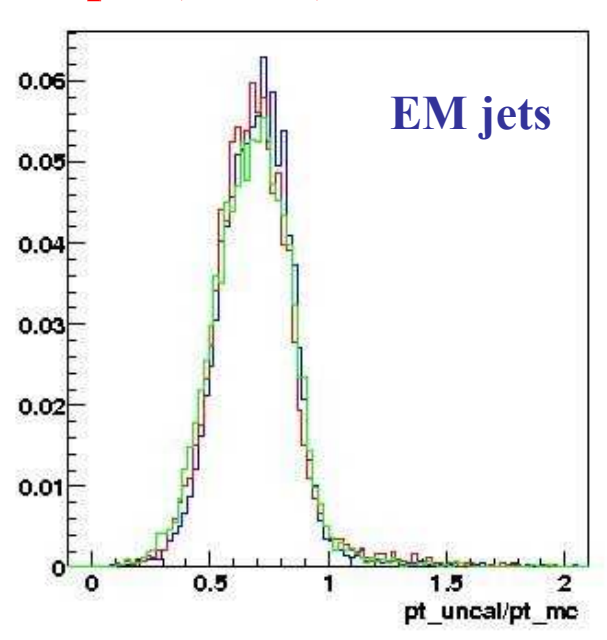
Quark <pTbal> (%) = -1.6±1.8

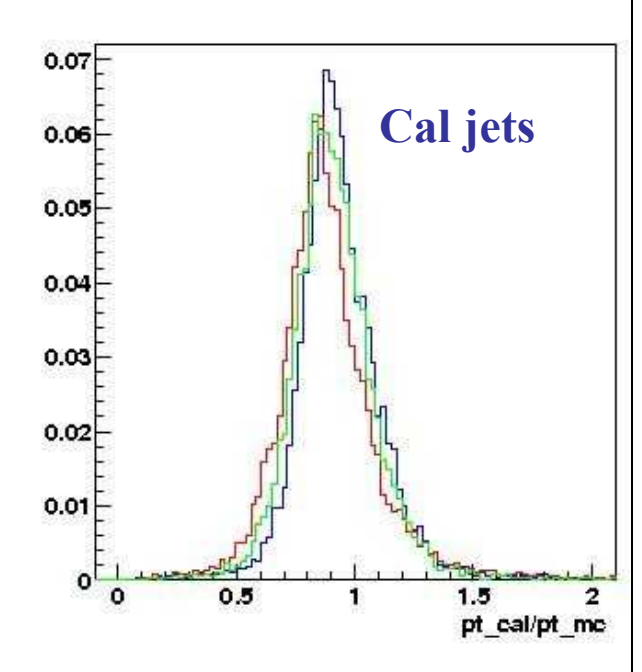
Error estadístico

<ptbal> (%)</ptbal>	Cone 0.4	Cone 0.7	kT
MC jets	-4.0±2.4	8.7±2.5	14.3±2.7
Reco Cal jets	-12.9±0.3	0.7±0.3	2.5±0.3
Reco EM jets	-29.5±0.3	-18.4±0.3	-12.5±0.3

Calibración hadrónica de los jets

pT (20, 50) GeV





<etr etmc=""></etr>	EM pT20	Cal pT20	Cal pT60
Cone 0.4	69%	91%	94%
Cone 0.7	70%	94%	98%
kT	69%	89%	101%

Calibración dividida en dos fases:

- → Efectos físicos (relacionar partón original con el jet a nivel de partículas)
- \rightarrow Efectos del detector $E_T(\text{reco jets})/E_T(\text{MC jets})$

OBJETIVO:

 $E_T(\text{reco jets})/E_T(\text{MC jets})=1$

Calibración del detector: introducción

- Datos del Test Beam, π 's, simulaciones de MC
 - •precisión en la escala absoluta de energía de los jets ~ 5-10%
 - •Objetivo de ATLAS → precisión ~ 1%
- → Necesidad de una calibración *in situ* del detector
- Varias muestras de sucesos (diferentes y complementarias): $W \rightarrow jet \ jet \ y \ Z^0/\gamma + jet$
 - *W jet jet*: útil en el caso de jets provinientes de quarks ligeros
 - $Z^0/\gamma + jet$: escala de energía de los b-jets.
- \rightarrow En el caso γ +jet
 - •Principal fuente de background: dijets cuando un jet tiene una componente EM importante. En la mayoría de los casos un π^0 energético que desintegra en $\gamma\gamma$ muy colimados que se detectan como un único fotón en el calorímetro
 - Aplicación de cortes de calorimetría para reducir la contribución del background: 3 conjuntos de cortes con diferentes niveles de eficiencia para la señal y de supresión del background.

Bases de la separación γ/jet

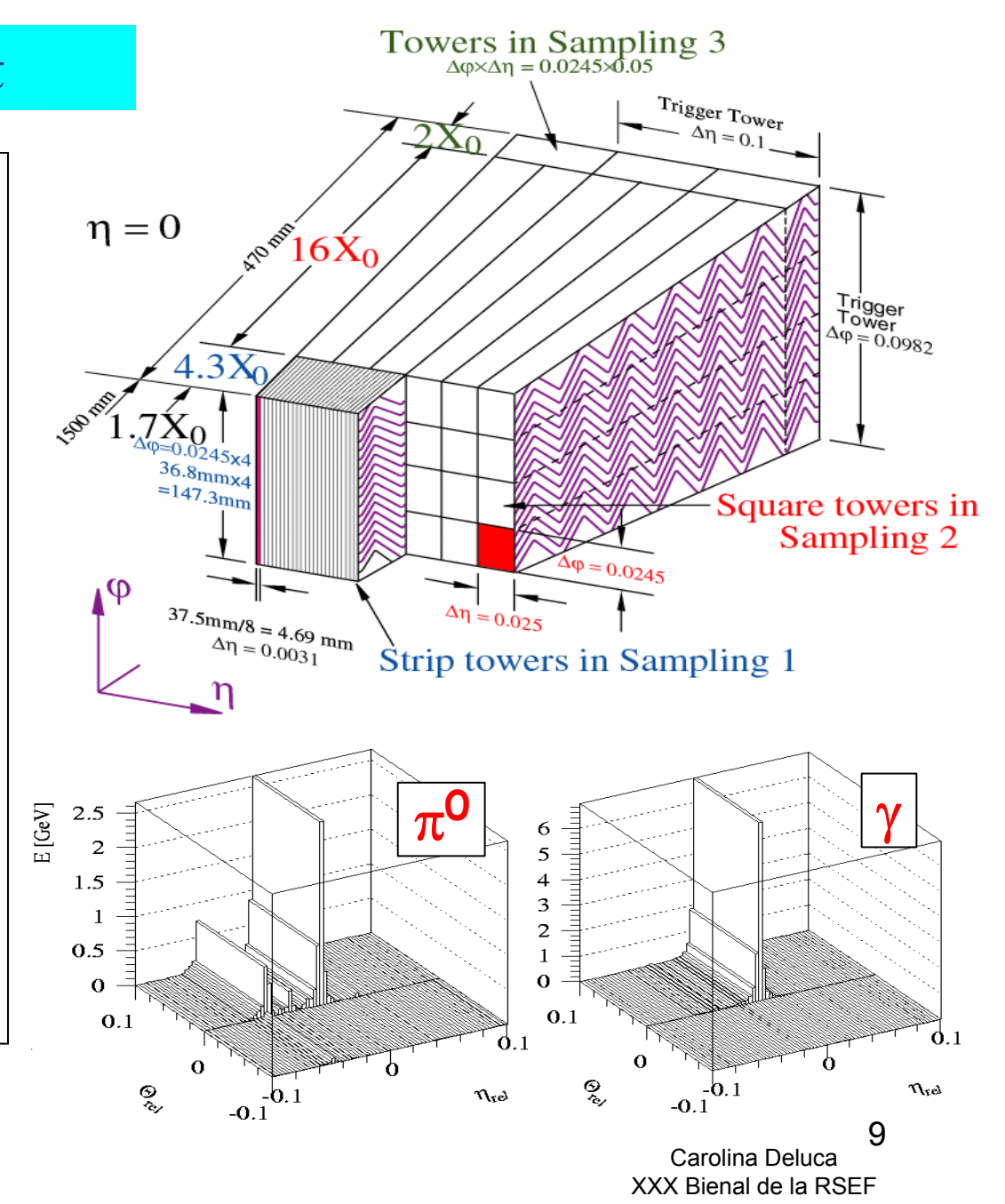
→ Si hay "fugas" de energía en el calorímetro hadrónico:

EM Sampling2: desarrollo transversal diferente de las cascadas EM y hadrónicas

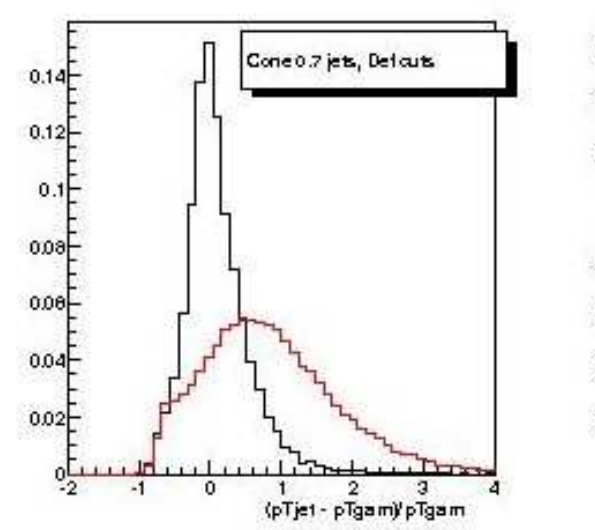
- •Forma de la cascada en η y φ
- •Anchura de la cascada en la dir. η

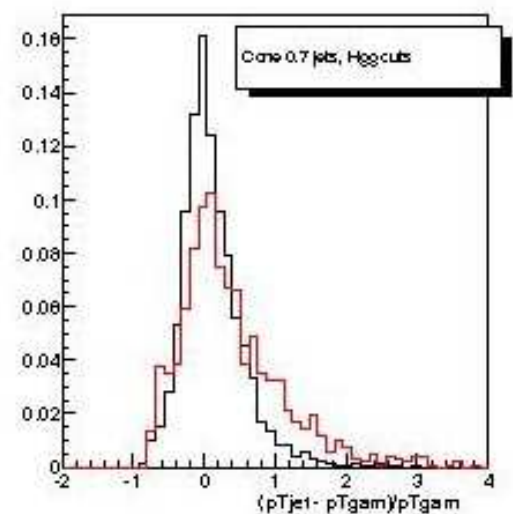
EM Sampling1: sólo sobreviven los jets con poca actividad hadrónica. Segmentación fina del calorímetro en strips

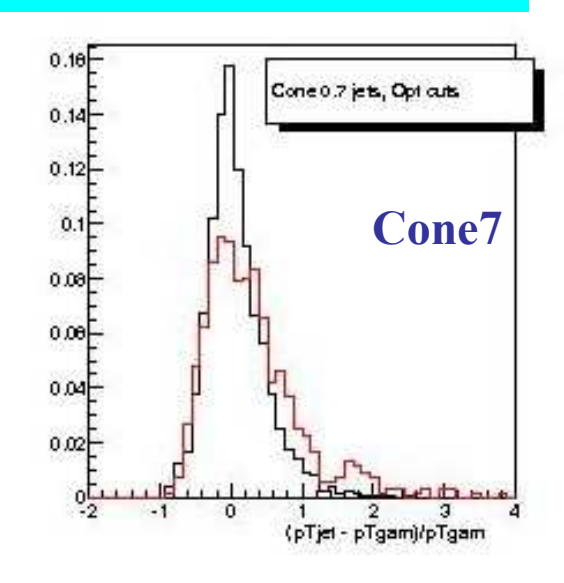
- •Búsqueda de subestructuras en los strips
- •Anchura de la cascada en η



Balance de pT para señal y background







En una ventana de anchura 0.12 centrada alrededor de 0 para evitar colas

default CBNT: S/B~10%, optimizados: S/B~30%

 \rightarrow jet background $\approx \pi^0$'s

<ptbal> (%)</ptbal>	SEÑAL	BACKGROUND
Default	0.7±0.3	8.3±0.3
$H \rightarrow \gamma \gamma$	2.5±0.5	2.5±1.1
Optimizados	-0.1±0.6	0.8±1.4

El <pTbal> es el mismo que para la señal dentro de una precisión de ~ 2%

Error estadístico

Conclusiones

- Comparación sistemática de datos reales y de MC cuando el experimento se ponga en marcha
- Esto permitirá comprobar nuestra comprensión de importantes aspectos como:
 - → Comprobar el nivel de acuerdo entre los datos y el MonteCarlo y distinguir los efectos que pueden originar diferencias:
 - Efectos físicos (fragmentación, etc.)
 - Efectos detector (descripcion de la zonas muertas, etc..)
 - → Comportamiento relativo de los diferentes algoritmos de jets
- Cuando los datos y el MC concuerden bien, los sucesos pueden usarse para calibrar el detector
- Otros usos de interés dada su importante estadística y relativa sencillez son por ejemplo tareas de monitoring en tiempo real al principio del experimento

Para el futuro

- Por entender aún:
 - → Efectos del ruido electrónico, minimum-bias y pile-up
 - → Comportamiento de la muestra en el rango de pT > 60 GeV, donde será más abundante y en principio más limpia